

大肠杆菌 α -D-半乳糖苷酶的提纯及特性*

苏悌之 亓 珊 运文慧 郭长旺 徐 铃

(北京市营养源研究所)

摘要 大肠杆菌中与抗原 K_{11} ab 基因相连锁的棉子糖操纵子 (*raf*) 编码的 α -D-半乳糖苷酶经硫酸铵沉淀, Sepharose 4B 和 DEAE 纤维素等提纯步骤获纯化品, 其在 PAGE 上呈单一电泳区带, 分子量 80000。粗酶品经 Sepharose 4B 后呈现为两个酶活性峰。该酶特性与染色体编码的同功酶有明显差异。最适温度为 35—37℃, 最适 pH 7.5。以 PNPG、蜜二糖、棉子糖为底物; 其米氏常数分别为 0.11, 2.1 和 136 mmol/L。 Mn^{2+} 离子影响酶稳定性, 然而可以被巯基试剂消除。双扩散免疫实验初步表明, 产 H_2S 基因连锁的 *raf* 操纵子编码的 α -D-半乳糖苷酶与该酶可能具有相同抗原性。

关键词 大肠杆菌; α -D-半乳糖苷酶; 提纯

α -D-半乳糖苷酶在甜菜工业上用于去除干扰蔗糖回收的棉子糖, 在豆类食品加工中则用于降解引起人肠道不适的寡糖类^[1]。大肠杆菌 α -D-半乳糖苷酶至少包括由其染色体蜜二糖操纵子 (*mel*) 和质粒棉子糖操纵子 (*raf*)

编码的两大类型(依次简称类型 I 和 II)^[2]。类型 II 酶具有不同血清型^[3]。本文以编码类型 II 酶的再克隆基因为材料, 对该酶的提纯及特性

* 胡良彪、罗薇曾协助部分工作,特此致谢。

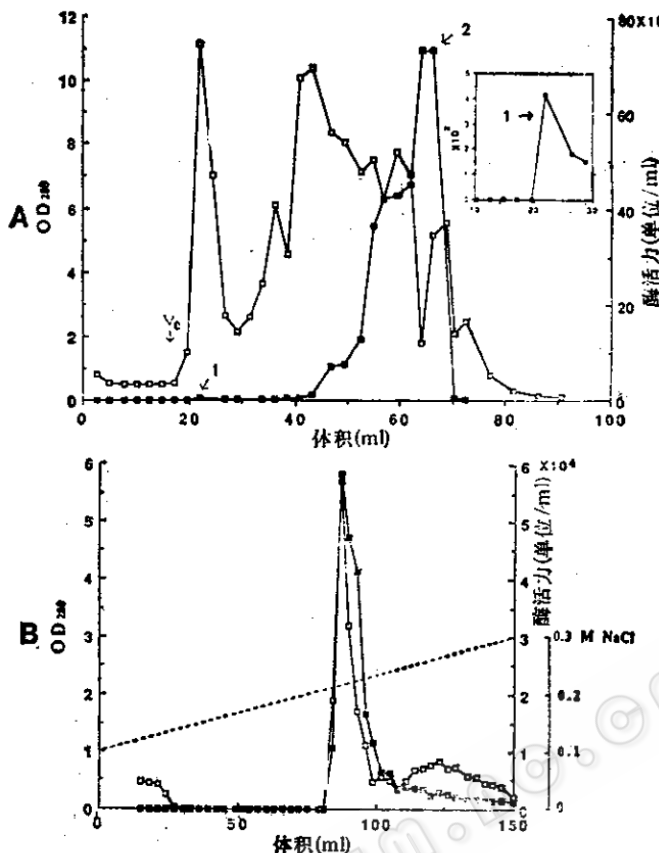


图 1 Sepharose 4B 及 DEAE 纤维素柱层析

A. Sepharose 4B 凝胶过滤。“1”及“2”为酶峰。第1酶峰放大图见右上方图。 V_0 表示用氯化钠开始线性梯度洗脱。B. DEAE 纤维素柱层析 —■—：酶活力曲线；—□—：OD₂₈₀ 吸收曲线；——：0.1 mol/L 至 0.3 mol/L 氯化钠线性梯度洗脱曲线。

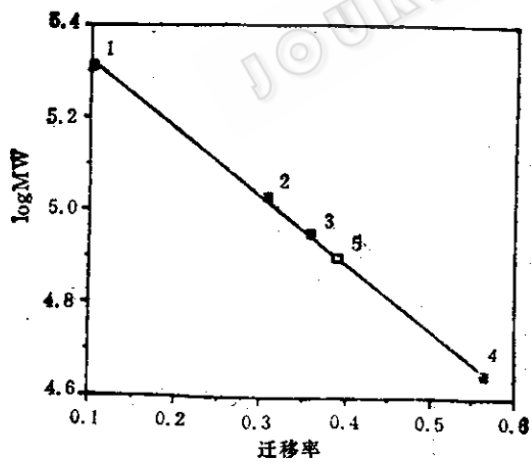


图 2 SDS 圆盘电泳测定酶分子量

1. 兔肌球蛋白 (205000); 2. β -半乳糖苷酶 (116000);
3. 磷酸酶 b (97400); 4. 卵白蛋白 (45000); 5. α -D-半乳糖苷酶 (80000)

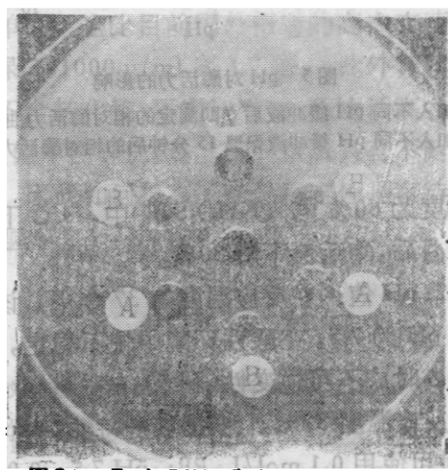


图 3 α -D-半乳糖苷酶的双扩散免疫图谱

“A”：R₁₀ 来源 α -D-半乳糖苷酶；“B”：BN107 来源 α -D-半乳糖苷酶；中央孔：兔抗 R₁₀ 来源 α -D-半乳糖苷酶血清

温度范围为 35—37°C。当高于 37°C，酶的半衰期急剧下降(见图 4)。纯化酶在 PB 中或含

(二) 影响酶活性的因素

1. 温度：纯化的 α -D-半乳糖苷酶的最适

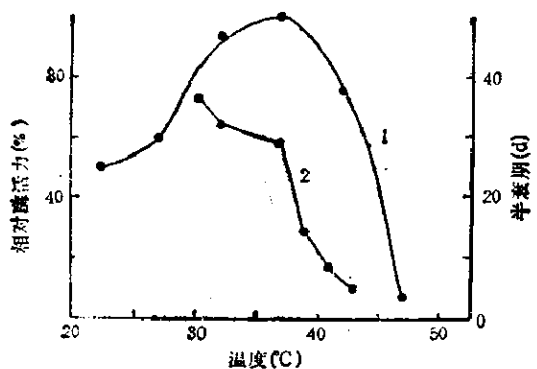


图 4 温度对酶活力的影响

1. 保温 15 分钟后的相对酶活力；2. 不同温度下保温后的酶活半衰期

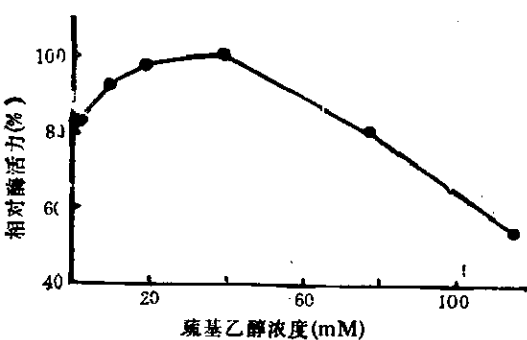


图 6 硫基试剂对酶活力影响

为 10—40 mmol/L 时酶活力较高，当浓度超过 40 mmol/L 后，酶活明显下降，说明该酶处于高还原状态对其活力不利。

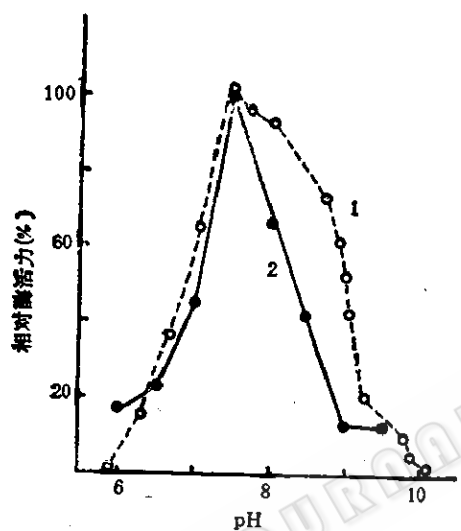


图 5 pH 对酶活力的影响

1. 加入不同 pH 缓冲液后立即测定的相对酶活力曲线。
2. 加入不同 pH 缓冲液保温 15 分钟后的相对酶活力曲线。

饱和度为 60% 的 $(\text{NH}_4)_2\text{SO}_4$ 中，4℃ 下保存 3 个月后，酶活性下降 30%。

2. pH 值：在反应温度为 37℃ 下，该酶的最适 pH 为 7.5，在酸性环境中较不稳定，当 pH 低于 6 时成不可逆变性(图 5)。

反应温度 37℃。根据这一特性，在 pH 6—8.5 时可使用 0.1 mol/L PB；pH 7.5—9.0 时使用 0.04 mol/L 巴比妥缓冲液；pH 8.5—9.7 时则使用 0.1 mol/L 甘氨酸缓冲液。

3. 硫基对酶活力的保护作用： α -D-半乳糖苷酶(II型)与 I 型酶不同^[10]，加入巯基乙醇的增进酶活效果较小(图 6)。当巯基乙醇浓度

4. 金属离子：浓度为 4.27 mM 的各种供试离子中， Co^{2+} 、 Cu^{2+} 、 Ni^{2+} 、 Al^{3+} 和 Zn^{2+} 对 α -D-半乳糖苷酶的酶活力有抑制作用，而 Ca^{2+} 、 Li^+ 、 K^+ 、 NH_4^+ 和 Mg^{2+} 则未见影响(图 7-A)。 Mn^{2+} 在保温后立即测定时酶活力与对照基本相同，这与 Schmitt 报道一致^[11]。但我们发现随保温时间延长， Mn^{2+} (5 mmol/L)对酶活力有不利影响。这一抑制作用可被 5 mmol/L 二硫代苏糖醇(DTT)解除(图 7-B)。因此该酶与需 Mn^{2+} 的 I 型酶明显不同^[12]。

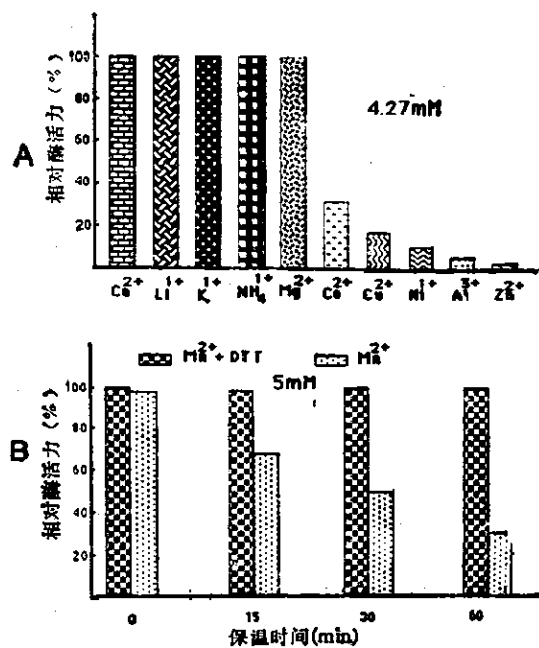


图 7 各种金属离子对酶活力的影响

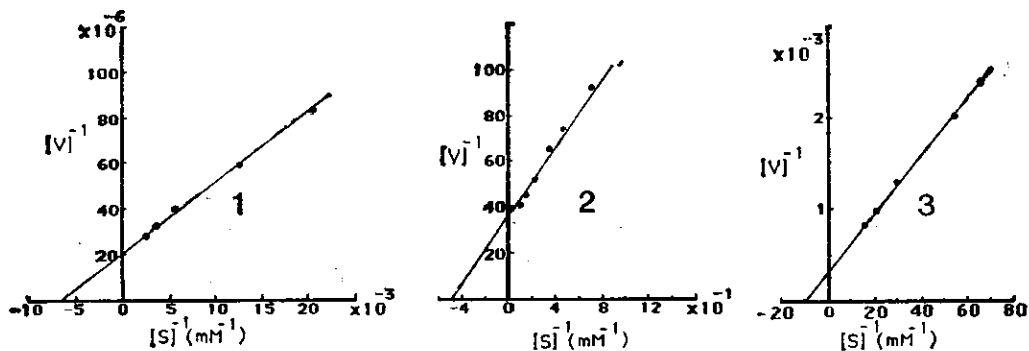


图 8 不同底物的 Lineweaver-Burk

1. 棉子糖 2. 蜜二糖 3. PNPG

5. 糜糖类：供试各种糖（0.1 mol/L）对 PNPG 为底物的酶活力测定均表现有不同程度抑制。其中蜜二糖抑制作用最强，当其浓度 37 mmol/L 时酶活力测定值即下降 59%（见表 2）。

表 2 一些寡糖对 PNPG 酶解反应的影响

糖类 (0.1 mol/L)	抑制百分率(%)
D-甘露糖	68.7
D-半乳糖	55.0
D-果糖	59.4
D-山梨糖	53.1
D-鼠李糖	48.4
D-葡萄糖	27.0
D-木糖	37.5
D-核糖	34.4
乳糖	53.1
麦芽糖	53.1
蜜二糖	95.1
棉子糖	27.0

6. 缓冲液：该酶在 PB 中较稳定。在巴比妥缓冲液中虽瞬时 (<1 分钟) 酶活力高于 PB，但随时间延长，酶活力迅速下降。在以磷酸、醋酸或盐酸配制的 Tris 缓冲液中，酶活力略有不同，但均明显低于 PB 酶液。因此，Tris 碱基是抑制酶活力的关键因素，这与 Kawamura 的结果不一致^[1]。

7. 米氏常数：以 PNPG、蜜二糖和棉子糖为底物，其米氏常数分别为 0.11、2.1 和 136 mmol/L（图 8）。因此在自然环境下蜜二糖可能为该酶的主要作用底物。

讨 论

大肠杆菌中质粒携带的 raf 操纵子常与产 H₂S 的基因连锁（如质粒 p1021），或与引起幼畜腹泻的 K₈₈ 抗原基因连锁（如质粒 pRI 8801）。Schmitt 已纯化了前一类型质粒编码的 α-半乳糖苷酶^[2]。现对后一类型质粒编码的半乳糖苷酶分析表明，两者酶学特征基本相似，为同源基因产物。

经再克隆后的 α-半乳糖苷酶基因明显产量增加。我们用 LBT 培养基培养 BN107，摇瓶条件下，每毫升产量可达 490000 Barton 法酶活力单位。这比目前国外报道的高产真菌的最高纪录 181000 u/ml 高 1.7 倍。此外，该工程菌有不含转化酶，不需诱导物，酶比活高，最适 pH 值偏中性等优点。然而该酶具有不耐热的特性。因此如何提高酶的热稳定性是有待研究的问题。

参 考 文 献

- [1] 刘波等：《酶制剂工业》，科学出版社，780—794, 1984。
- [2] Schmid K. & Schmitt R.: *Eur. J. Biochem.* 67: 95—104, 1976.
- [3] Schmid K. et al.: *Gen. Micro.* 114: 477—481, 1979.
- [4] Mooi F. R. et al.: *Nucleic Acid Res.* 6: 849—866, 1979.
- [5] Barton R. R. et al.: *Anal. Biochem.* 14: 258—260, 1966.
- [6] Somogyi M.: *J. Biol. Chem.* 195: 19—23, 1952.
- [7] 潘家秀等：《蛋白质化学研究技术》科学出版社，北京，p. 28, 1979。

- [8] Laemmli U. K.: *Nature*. 227: 680—685, 1970.
- [9] Cooper T. G.:《生物化学工具》,人民卫生出版社,1980。
- [10] Schmitt R. et al.: *Biochem. Biophys. Res. Commun.* 64: 473—479, 1966.
- [11] Kawamura S. et al.: *Anal. Biochem.* 40(4): 641—648, 1976.